

TiO₂ 세라믹 전극의 광전기화학 변화에 미치는 첨가제 Al₂O₃와 Surface Roughness의 영향

윤기현 · 박경봉
연세대학교 요업공학과
(1987년 4월 2일 접수)

Influence of Dopant Al₂O₃ and Surface Roughness on the
Photoelectrochemical Conversion of TiO₂ Ceramic Electrodes

Ki-Hyun Yoon and Kyung-Bong Park
Dept. of Ceramic Eng., Yonsei University
(Received April 2, 1987)

요약

TiO₂ 세라믹 전극의 광전기화학 변화에 미치는 첨가제 Al₂O₃와 surface roughness의 영향을 연구하였다. Al₂O₃를 첨가한 TiO₂ 세라믹 전극의 경우, 700°C에서 환원처리하였을 때 광전류는 0.1 wt%의 Al₂O₃ 첨가시까지 증가하다가 더 이상의 첨가시 감소하였으며, 800°C 환원처리시는 0.05 wt%의 Al₂O₃ 첨가시까지 증가하였다가 더 이상의 첨가시 감소하였다. 그러나 환원온도와 Al₂O₃의 첨가량에 관계없이 광응답은 TiO₂의 에너지 띠간격 (~3.0 eV)에 해당하는 415 nm 부근에서 시작되었다. 또한 순수한 TiO₂ 세라믹 전극의 광전류는 surface roughness 증가에 따라 증가하였다.

ABSTRACT

The effects of dopant Al₂O₃ and surface roughness on the photoelectrochemical conversion of TiO₂ ceramic electrodes were investigated.

The photocurrent increased with increasing the amount of dopant Al₂O₃ up to 0.1 wt% and 0.05 wt% in the specimens reduced at 700°C and 800°C, respectively, and then decreased. However, the photoresponse appeared around 415 nm, which very closely corresponds to the energy band gap of TiO₂ (~3.0 eV), regardless of reduction temperature and the amount of Al₂O₃. And the photocurrent increased with increasing surface roughness in the undoped TiO₂ ceramic electrode.

1. 서 론

반도체 전극을 사용한 광전기화학 변화에 의한 물의 광분해에 관한 연구는 지구 표면에 유입되는 태양의 복사에너지의 효율적으로 이용하기 위한 방법의 일환으로 관심있게 진행되었다.^{1)~5)}

이에 대한 연구로서 본 실험실에서는 이미 TiO_2 ,^{6)~8)} $SrTiO_3$,⁹⁾ 다결정 전극을 이용하여 물의 광분해의 가능성을 보고한 바 있다. 한편, 광전기화학 변화에 영향을 미치는 주된 인자 중 특히, 전극 물질에 대해 많은 연구가 진행되어 오고 있는데, 전극 재료로서의 요구조건은 적절한 피간격(< 2.5 eV), 전해질 용액내에서의 안정성, 낮은 전자 친화력 등이다.

본 연구에서는 지금까지 연구된 재료중 비교적 떠간 격은 크지만, 위의 조건을 잘 만족하고, 비교적 광효율도 높은 TiO_2 세라믹 전극을 사용하여 Ghosh 와 Maruska,¹⁰⁾ 예의해서 단결정 TiO_2 의 광변환 효율을 증대시키는 것으로 보고된 바 있는 Al_2O_3 를 첨가한 경우의 광변환 특성에 대해 연구하였다. 또한, 여러 연구자^{11)~13)} 예의해서 보고된 바, 대부분의 전극의 효율과 거동이 surface 와 surface 부근 영역의 성질에 매우 의존적이며, surface 처리에 민감하므로, 본 연구에서는 TiO_2 의 광변환 효율에 미치는 surface roughness 효과에 대해서도 연구하였다.

2. 실험

출발 물질로는 TiO_2 rutile 분말(순도 99.9 %, Rare Metallic Co., Ltd. Japan)과 $\alpha-Al_2O_3$ 분말(순도 99.9 %, Rare Metallic Co., Ltd. Japan)을 사용하였으며 Table 1에 나타낸 비율로 평량하여 ethylalcohol을 첨가하여 6시간동안 혼합하였다. 혼합된 각 조성의 시료를 600 kg/cm²의 압력으로 직경 14 mm, 두께 5 mm 되는 시편으로 성형하고, 1200°C에서 2시간동안 공기중에서 소결하였다.

Table 1. Composition of Specimens.

specimen no.	raw material, wt %	
	TiO_2	Al_2O_3
TP	100	0
TA-1	99.95	0.05
TA-2	99.90	0.10
TA-3	99.85	0.15
TA-4	99.80	0.20

소결된 시편을 low-speed cutting machine (LECO Corp. 800 ~ 900)을 사용하여 자른 뒤 두께가 0.25 mm가 되도록 SiC 연마지(grit no. 240, 400, 600 순으로)로 연마하였다. 연마한 시편은 상온에서 적절한 전도성을 부여하기 위해 700°C, 800°C에서 각 1시간씩 주소분위기에서 환원처리하였다. surface roughness 효과를 알아 보기위한 시편은 0.05 μm $r-Al_2O_3$ 분말로 연마한 후 그 시편을 각각 SiC 연마지 grit no. 180, 240, 400, 600으로 연마하여 준비하였다. 이때 환원처리는 순수한 TiO_2 세라믹 전극의 경우 가장 큰 광전류값을 나타냈던 800°C 1시간으로 하였다.

이 시편의 한쪽면에 상온용 silver paste를 이용하여 구리선을 부착한 후, 전해질과의 접촉을 방지하기 위해 빛이 조사되는 부분을 제외한 모든 부분을 5-min epoxy resin (Devcon Corp., U. S. A.)을 이용하여 봉합한 뒤 전극으로 사용하였다. 이렇게 준비한 전극을 양극으로 사용하였고, 음극으로는 Pt판을, 기준 전극으로는 SCE (Toa Electro., Ltd. Japan)를 사용하였으며, 1N-NaOH (pH = 13)를 전해질 용액으로 사용하였다. 이 밖에 실험에 사용한 장치 및 절차는 본 실험실에서 이미 발표한 보고과^{7)~9)} 동일하며, TiO_2 세라믹 전극의 surface roughness는 Talysurf 6 system (Taylor-Hosson Co. England)으로 측정하였다.

3. 결과 및 고찰

Fig. 1은 700°C에서 환원처리한 TiO_2 세라믹 전극의 Al_2O_3 첨가량에 따른 광전류-전압특성을 나타낸

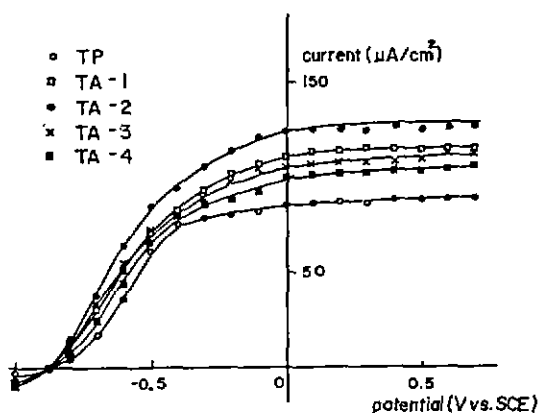
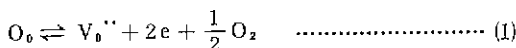


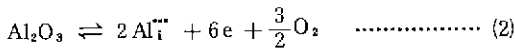
Fig. 1. I-V curves in undoped and Al_2O_3 doped TiO_2 ceramic electrodes reduced in H_2 at 700°C.

그림으로, Al₂O₃의 첨가량이 0.1 wt % 까지 증가함에 따라 광전류는 증가하나 더 이상의 첨가시 감소함을 볼 수 있다. 광전기화학 변화에 사용할 전극은 상온에서 적절한 전도성이 요구되므로¹⁴⁾, TiO₂ 전극을 수소분위기에서 환원처리하게 되는데, 이 처리로 고온 상태의 TiO₂와 같이 산소공위를 다음과 같은 결합반응식에 의해 얻을 수 있다.¹⁵⁾



이때 형성된 산소공위에 기인하여 시편의 색이 밝은 단계에서 암청색으로 진해짐을 관찰할 수 있었다.

한편, Al₂O₃를 첨가한 경우, Slepets¹⁵⁾ 등에 따르면 Al과 Ti의 이온 반경 차이 (Ti⁴⁺ : 0.68 Å, Al³⁺ : 0.51 Å)로 인해 Al³⁺ 이온이 Ti⁴⁺ 자리에 치환되거나 격자틈새로 들어가게되어 다음과 같은 결합반응식을 얻을 수 있다.



따라므로, 식 (2)에 의해 Al₂O₃ 첨가시 생성된 전자가 Ti³⁺ 도너이온의 형성에 기여한다고 생각되며,¹⁶⁾ 이런 결과로 순수한 TiO₂에 비해 Al₂O₃ 첨가시 광전류가 증가하는 경향을 나타낼 수 있다. 그러나 0.1 wt % 이상의 Al₂O₃ 첨가시에는 광전류가 감소하는 경향을 볼 수 있는데, 이는 식 (3)에 의해 알 수 있는 바와 같이, Al₂O₃ 첨가시 전자와 함께 생겨나는 산소공위가 파괴하게 생성되어, 광에 의해 생겨난 운반자(carrier)의 이동을 방해하는 trap으로 작용하여 그들의 재결합속도를 증대시키는데¹⁷⁾ 기인된다고 생각된다.

또한, Schottky barrier equation⁽³⁾에 의하면, 총전류치는

$$J = q\phi \left(1 - \frac{\exp \{-\alpha W_o (V - V_{fb})^{1/2}\}}{1 + \alpha L_p} \right) \quad \dots \quad (4)$$

로 표시할 수 있는데, 여기서 ϕ 는 광량(light flux), α 는 광학적 흡수계수, W_o 는 1V의 전위에 대한 공핍층의 너비, V 는 공급전위, V_{fb} 는 flat-band 전위이고 L_p 는 정공 확산길이이다.

Butler에 의하면⁽³⁾ 식 (4)는 공핍층내에서 생긴 운반자들이 모두 광전류에 기여한다는 가정 하에, 즉 $\alpha L_p \ll 1$ 에 대해서, $J/\alpha W_o q\phi \approx (V - V_{fb})^{1/2}$ 이 되며, $J - V$ 곡선에서 $J = 0$ 이 될 때, $V = V_{fb}$ 가 되어 onset voltage를 통해서 V_{fb} 를 구할 수 있으며⁽²⁰⁾, 실제 Kung 등⁽²¹⁾은 이와 같은 방법으로 V_{fb} 를 실험적으로

얻어 냈다. 본 실험의 Fig. 1을 보면 Al₂O₃ 함량이 증가함에도 onset voltage는 거의 변화되지 않았으므로, V_{fb} 도 거의 변화가 없었다고 할 수 있다. 그러므로 총전류치는 α, W_o, L_p 에 영향을 받게 되는데 본 실험의 Fig. 3에서 광용답의 변화가 없으므로, α 는 일정하고, L_p 는 Salvador⁽²²⁾에 의해 보고된 바 공핍층너비(W)에 비해 매우 작으므로 총전류치는 W_o 에 의존하게 된다.

한편,

$$W_o = \left(\frac{2 \epsilon_0 \epsilon_r}{q N_d} \right)^{1/2} \quad \dots \quad (5)$$

여기서, ϵ_0 는 진공의 유전율, ϵ_r 는 유전상수, N_d 는 도너농도이다.

따라서 W_o 는 N_d 에 의존하게 되며, 공핍층내의 전기장(electric field)은

$$F = (V - V_{fb})^{1/2}/W_o \quad \dots \quad (6)$$

이므로 W_o 에 의존함을 알 수 있다.

Al₂O₃ 첨가함에 따라 도너 농도가 증가하며, 어느 정도의 도너 농도증가에 대해서는 식(5)에 의해 공핍층의 폭이 감소하여, 식(6)에 따라 전기장이 증가하므로, 전자-정공쌍들이 효과적으로 분리, 이동되어 광효율이 증가되며, 도너 농도가 더욱 증가할 때는 식(4)에 따라 총전류치가 감소하여 광전류가 감소됨을 알 수 있다.

Fig. 2는 800°C에서 환원처리한 TiO₂ 세라믹 전극의 Al₂O₃ 첨가에 따른 광전류-전압특성을 나타낸 그

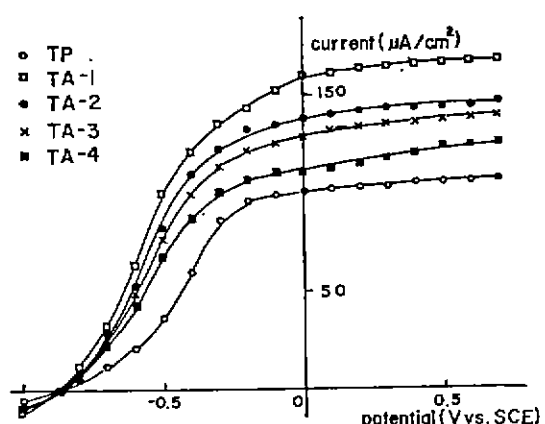


Fig. 2. I-V curves in undoped and Al₂O₃ doped TiO₂ ceramic electrodes reduced in H₂ at 800°C.

립으로서 전조성범위에서, 700°C에서 환원처리한 경우 보다 큰 광전류값을 보이며, 0.05 wt %의 Al_2O_3 를 첨가했을 때 가장 큰 광전류를 나타냈다가, 더 이상의 첨가시 감소하는 경향을 나타냄을 알 수 있다. 이는 700°C에서 보다 800°C에서 환원처리시, (1)식에 의해 보다 많은 전자의 생성으로 전반적인 광전류의 증가를 가져왔으나¹⁷⁾ 더 많은 산소공위의 생성으로 운반자의 이동을 방해하는 trap 작용이 Al_2O_3 의 첨가량이 보다 적은 조성에서부터 작용하기 때문이라고 생각된다.

Fig. 3, 4는 각각 700°C, 800°C에서 환원처리한 TiO_2 전극의 Al_2O_3 첨가에 따른 광전류-파장특성을 나타낸 것으로서 아래 공급전위는 $\text{OV}(\text{vs. SCE})$ 로 유지하였으며, 광원의 분광특성에 대해서는 보정하지 않았다.

순수한 TiO_2 전극이나 Al_2O_3 를 첨가한 TiO_2 전극 모두 환원처리 온도에 관계없이 이미 보고된 바 있는 단결정¹⁸⁾이나 다결정 TiO_2 ^{19)~21)}와 유사하게 TiO_2 의 에너지 피간격 ($\sim 3.0 \text{ eV}$)에 해당하는 415 nm의 파장치 부근에서 광응답이 시작됨을 알 수 있으며, 이는 또한 Augustinski¹⁹⁾등의 보고와도 일치 한다.

한편, Monnier¹⁹⁾등은 TiO_2 에 Cr을 첨가한 경우 Cr의 3d궤도와 Ti의 3d궤도간의 상호반응으로 형성된 intermediate level에 의해 500 nm 이상의 파장 영역에서도 전자를 여기 이동시킬 수 있음을 보고하였고, 본 실험실에서 발표한 바 있는 SrTiO_3 에 V를 첨가한 경우⁹⁾에도, V와 Ti의 3d궤도간의 상호반응으로 광응답이 500 nm 이상까지 이동함을 볼 수 있다.

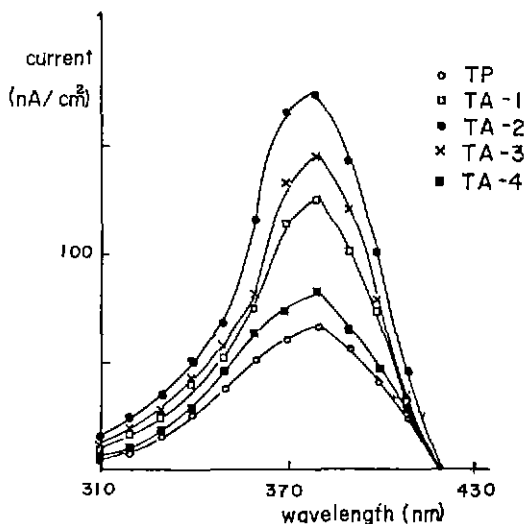


Fig. 3. $I - \lambda$ curves in undoped and Al_2O_3 doped TiO_2 ceramic electrodes reduced in H_2 at 700°C.

그러나 Al_2O_3 를 첨가한 TiO_2 의 경우는, Al의 3p궤도와 Ti의 3d궤도간의 큰 에너지 준위차이로 상호반응이 일어나기 어려워서 intermediate level을 형성치 못하여, Al_2O_3 첨가에 따른 광응답의 변화는 없었다고 생각된다.

Fig. 5, 6은 각각 700°C, 800°C에서 환원처리한 TiO_2 전극의 Al_2O_3 첨가에 따른 양자효율-파장특성을 나타낸 것이다. 이때 양자효율은 Fig. 3, 4의 광전류-파장특성을 이용하여, 입사된 photon 수에 대해 의부로 흐르는 전자의 수로서 계산한 것이다. 700°C 환원처리시는 0.1 wt %의 Al_2O_3 를 첨가했을 경우 340 nm의 파장에서 약 3% ($V_{app.} = \text{O V vs. SCE}$)의 양자효율을, 800°C 환원처리시는 0.05 wt %의 Al_2O_3 를 첨가했을 경우, 약 4.2 %의 양자효율을 나타내었다.

Fig. 7은 surface roughness에 따른 광변환 특성을 알아 보기위해 준비한 TiO_2 세라믹 전극의 surface roughness를 측정한 것이다. 여기서 R_a 는 roughness의 international parameter로서 중간선 (mean line)에서 벗어난 정도를 나타낸다.

Fig. 8은 surface roughness에 따른 순수한 TiO_2

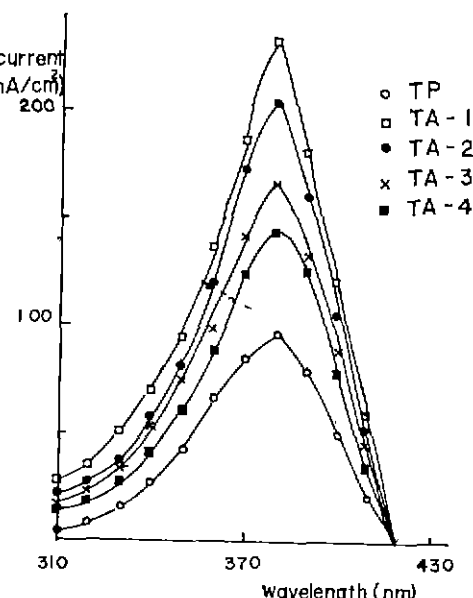


Fig. 4. $I - \lambda$ curves in undoped and Al_2O_3 doped TiO_2 ceramic electrodes reduced in H_2 at 800°C.

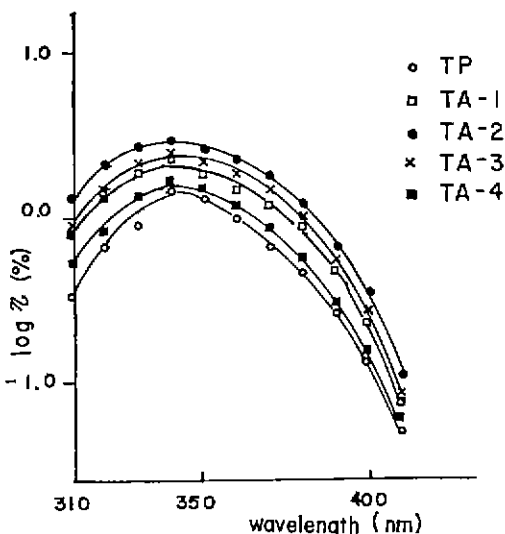


Fig. 5. Quantum efficiency vs. wavelength in undoped and Al₂O₃ doped TiO₂ ceramic electrodes reduced in H₂ at 700°C.

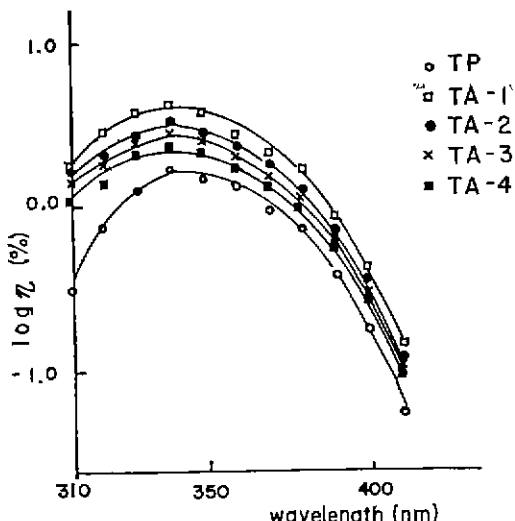


Fig. 6. Quantum efficiency vs. wavelength in undoped and Al₂O₃ doped TiO₂ ceramic electrodes reduced in H₂ at 800°C.

세라믹 전극의 광전류-전압 특성을 나타낸 것으로서, surface roughness 증가에 따라, 광전류가 증가하는 것을 알 수 있다.

Harris 와 Wilson¹⁰⁾은 TiO₂ 단결정 전극의 aging

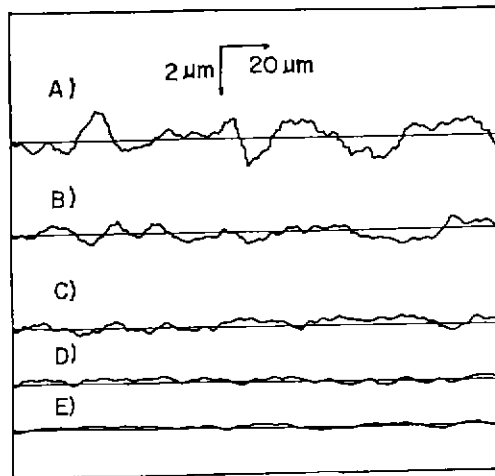


Fig. 7. Surface roughness profiles of TiO₂ ceramic electrodes polished with ; A) SiC grit no. 180 ($R_a = 0.54 \mu\text{m}$), B) SiC grit no. 240 ($R_a = 0.25 \mu\text{m}$), C) SiC grit no. 400 ($R_a = 0.136 \mu\text{m}$), D) SiC grit no. 600 ($R_a = 0.111 \mu\text{m}$), E) 0.05 μm γ -Al₂O₃ powder ($R_a = 0.090 \mu\text{m}$).

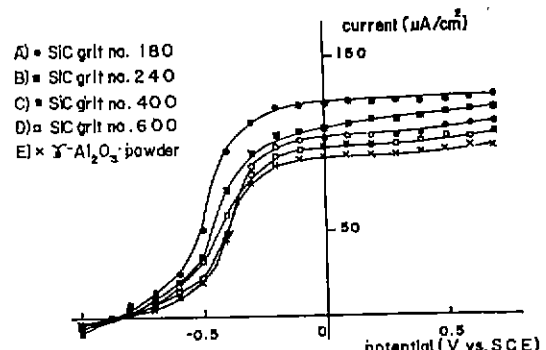


Fig. 8. I-V curves in undoped TiO₂ ceramic electrodes mechanically polished with A), B), C), D), and E).

효과에 대한 연구에서 surface roughness 증가에 따른 전해질과 전극과의 접촉면적의 증가와 surface porosity의 증가를 보고하였으며 Praet¹¹⁾ 등은 TiO₂ 단결정 전극의 surface를 etching 하였을 때, etching 시간 증가에 따른 급격한 광전류의 증가를 보고하였는데, 그들은 이를 단결정의 cutting 시 생긴 defect에 의해 생성된 surface recombination center가 etching 함에 따라

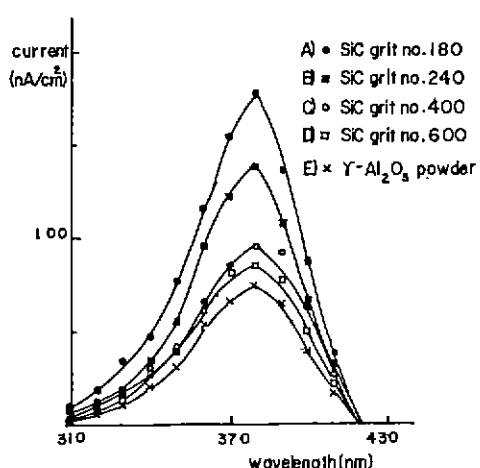


Fig. 9. I- λ curves in undoped TiO₂ ceramic electrodes mechanically polished with A), B), C), D), and E).

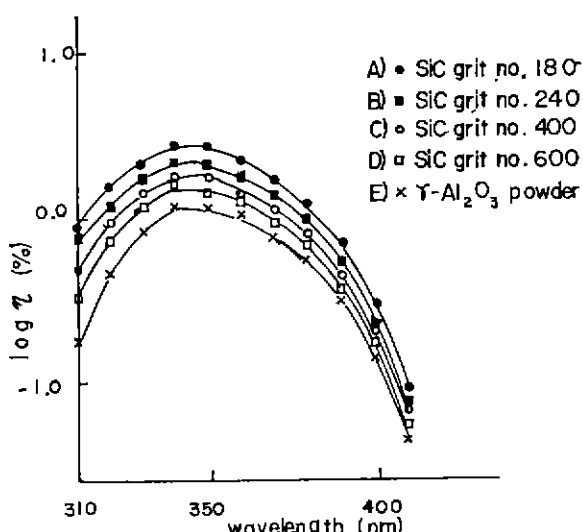


Fig. 10. Quantum efficiency vs. wavelength in undoped TiO₂ ceramic electrodes mechanically polished with A), B), C), D), and E).

소멸되는 것에 기인한다고 설명하였다. Fig. 8의 결과는 surface roughness 증가에 따라 전극의 유효 표면적 (effective surface area)이 커져서, 전극 표면에 흡수되는 photon의 양이 많아지고, 전해질과 전극과의 접촉 면적이 증가되므로 전극 표면에 OH⁻ 이온이 보다 많이

흡착하게 되어, 양극 (anode)에서의 반응을 촉진 시켜서 광전류는 증가되었다.⁽¹⁰⁾

Fig. 9, 10은 각각 surface roughness에 따른 순수한 TiO₂ 전극의 광전류 - 파장, 양자효율 - 파장 특성을 나타낸 것으로서, 표면 변화에 따른 광응답의 변화는 관찰할 수 없었다. 이는 surface roughness 증가에 따라 TiO₂ 떠간 각 네에 sub-band gap을 형성시키지 못한 때문이라 생각된다.

4. 결 론

1. Al₂O₃를 첨가한 TiO₂ 세라믹 전극의 경우, 700 °C 환원처리시는 0.1 wt %의 Al₂O₃ 첨가했을 때까지, 800 °C 환원처리시는 0.05 wt %의 Al₂O₃ 첨가했을 때까지, 광전류가 증가하였다가 더 이상 첨가시 감소하였다. 그러나 환원온도와 Al₂O₃ 첨가량에 관계없이 광응답은 415 nm 부근에서 시작되었다.

2. 환원한 TiO₂ 세라믹 전극은 표면이 rough 할수록 광전류가 증가하였으나, 광응답의 변화는 없었다.

REFERENCE

1. A. Fujishima and K. Honda, "Electrochemical photolysis of water at a semiconductor electrodes", *Nature*, 238, 37 (1972).
2. L. A. Harris and R. H. Wilson, "Semiconductor for photoelectrolysis", *Ann. Res. Mat. Sci.*, 8, 97 (1978).
3. M. A. Butler, "Photoelectrolysis and physical properties of the semiconducting electrode WO₃", *J. Appl. Phys.*, 48 (5) 1914 (1977).
4. K. L. Hardee and A. J. Bard, "Semiconductor electrodes I", *J. Electrochem. Soc.*, 122 (6) 739 (1975).
5. K. L. Hardee and A. J. Bard, "Semiconductor electrodes X", *J. Electrochem. Soc.*, 124 (2) 215 (1977).
6. K. H. Yoon and S. O. Yoon, "Photoeffects in polycrystalline TiO₂ electrodes", *Jpn. J. Appl. Phys.*, 23 (8) 113 (1984).
7. K. H. Yoon, D. H. Kang, K. H. Kim and J. S. Choi, "Photoeffects due to thickness and dopant (Sb₂O₃) in polycrystalline TiO₂

- electrodes", *Ind. Eng. Chem. Prod. Res. Dev.*, **25** (1) 93 (1986).
8. K. H. Yoon and J. S. Kim, "Photoelectric behavior of sintered TiO₂ electrodes", *J. Phys. Chem.*, **90** (24) 6488 (1986).
 9. K. H. Yoon and T. H. Kim, "Photoeffects in undoped and doped SrTiO₃ ceramic electrodes", *J. Solid State Chem.*, **67**(2) 359 (1987).
 10. Amal K. Ghosh and H. Paul Maruska, "Photoelectrolysis of water in sunlight with sensitized semiconductor electrodes", *J. Electrochem. Soc.*, **124** (10) 1516 (1977).
 11. L. A. Harris and R. H. Wilson, "Aging effects in single crystal reduced rutile anodes", *J. Electrochem. Soc.*, **123** (7) 1010 (1976).
 12. M.A. Butler and D. S. Ginsley, "Surface treatment induced sub-band gap photoresponse of GaP photoelectrodes", *J. Electrochem. Soc.*, **128** (3) 712 (1981).
 13. A. Praet, F. Vanden Kerchove, W. P. Gomes and F. Cardon, "Photoelectrochemical etching of TiO₂ single crystals", *Solar Energy Mat.*, **7**, 481 (1983).
 14. F. P. Koffyberg, "Photoelectrolysis of water on semiconducting oxide electrodes", *J. Can. Cer. Soc.*, **48**, 1 (1979).
 15. R. Slepets and D. A. Vaughan, "Solid solution of aluminium oxide in rutile titanium dioxide", *J. Phys. Chem.*, **73** (7) 2157 (1969).
 16. P. Salvador, "The behavior of aluminium-doped n-TiO₂ electrodes in the photoassisted oxidation of water", *Mat. Res. Bull.*, **15** (9) 1287 (1980).
 17. S. N. Subbarao, Y. H. Yun, R. Kershaw, K. Dwight and A. Wold, "Comparison of the photoelectric properties of the system TiO_{2-x}F_x", *Mat. Res. Bull.*, **13** (12) 1461 (1978).
 18. J. Augustynski, J. Hinden and Chs. Stalder, "Novel semiconducting electrodes for the photosensitized electrolysis of water", *J. Electrochem. Soc.*, **124** (7) 1063 (1977).
 19. A. Monnier and J. Augustinski, "Photoelectrolysis of water; Photoresponses of nickel, chromium and zinc-doped polycrystalline TiO₂ electrodes", *J. Electrochem. Soc.*, **127** (7) 1576 (1980).
 20. M. A. Butler and D. S. Ginley, "Review principles of photoelectrochemical, solar energy conversion", *J. Mat. Sci.*, **15**, 1 (1980).
 21. H. H. Kung, H. S. Jarrett, A. W. Sleight, and A. Ferretti, "Semiconducting oxide anodes in photoassisted electrolysis of water", *J. Appl. Phys.*, **48** (6) 2463 (1977).
 22. P. Salvador, "Determination of carrier concentration from photoelectrolysis spectra of semiconducting electrodes", *Solid State Commun.*, **34**, 1, 1 (1980).